観測結果に基づく飛来塩分量推定のための基礎的検討

松江工業高等専門学校 学生会員 〇松林 直樹松江工業高等専門学校 正会員 広瀬 望松江工業高等専門学校 正会員 大屋 誠松江工業高等専門学校 正会員 武邊 勝道松江工業高等専門学校 非会員 佐藤 誠

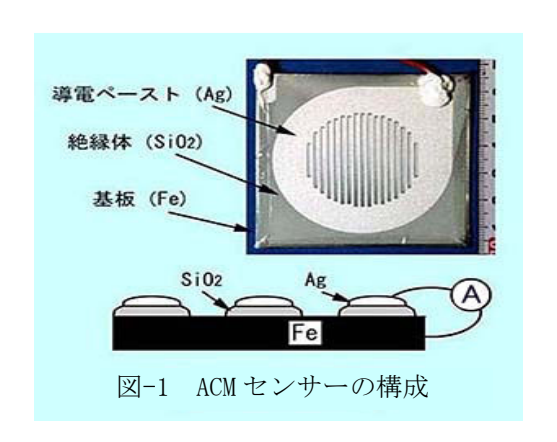
1. はじめに

橋梁等の鋼構造物のメンテナンスコスト低減が求 められるなか、耐候性鋼材が注目されている. 耐候 性鋼材は, その表面に保護性さびを形成することで, 腐食による板厚の減少速度を低減する. 道路橋示方 書により、耐候性鋼橋梁の適用範囲は、飛来塩分量 が 0.05mdd を超えない地域の目安として、離岸距離 により規定されている.しかしながら、島根県東部 において, 飛来塩分量が離岸距離に応じていないこ とが確認されている. 鋼橋の維持管理を適切に行う ためには, 鋼橋の置かれている腐食環境を十分に把 握する必要がある. 腐食環境の側から耐候性鋼橋梁 の腐食状況を推定する手段として、ACM センサーを用 いたモニタリング技術が検討されている. ACM センサ 一は、設置が容易で対象とする実橋で計測が可能な ため、鋼材の腐食性や飛来塩分量を ACM センサーに より定量的に把握することが可能となれば、定期点 検結果と併せて,新規橋梁,架替え橋梁の設計仕様 や既存の橋梁の維持管理に活用することができる.

本研究では,既存の耐候性鋼橋梁で実施された,腐食環境モニタリングの結果と鋼材の板厚減耗量の関係を示し,腐食因子との関係性を検証する.

2. ACMセンサーの原理

図-1に ACM センサーの構成を示した.



大気にさらされている耐候性鋼材は、雨が降ったり結露したりして、表面が濡れている際に腐食が進行する。ACM (Atmospheric Corrosion Monitor) は、2種類の金属 (Fe/Ag)を互いに絶縁し、大気中に暴露すると、降雨や結露のため、表面に薄い水膜が形成される.水膜が2種類の金属を覆うと、電池の役割を果たし、電流が流れる.この電流を「腐食電流」と

いう. さらに、鋼表面に塩化ナトリウム (NaC1) や塩化マグネシウム (MgCl $_2$) などの海塩粒子が付着することで、腐食電流値が大きくなる. この腐食電流を測定し、解析することで、腐食環境のモニタリングが可能となる.

3. 観測データ

本研究では、1年目の板厚減耗量、ACMセンサーの出力データ、飛来塩分量、 風速の観測データを用いた。表1に各観測データの詳細を記載し、 図-1に調査された対象橋梁の位置を示す. 飛来塩分量はドライガーゼ法により観測された結果である. 風速はプロペラ型計測器で計測されたデータである. ACMセンサー出力データは、神戸大橋・妻木橋(上り、下り)・大津高架橋において 10 分毎に出力された腐食電流・湿度のデータを用いた. また、腐食減耗量は、ACMセンサーと同地点において、JIS 耐候性鋼材の小型試験片を取り付け、1年間曝露したデータである.

表-1 観測されたデータの概略

	地点	期間
1年目の板厚減耗量(mm)		
飛来塩分量(mld)	神戸大橋	2007/01~12
風速(m/s)	大津高架橋	2007/01~12
腐食電流(µA)	妻木橋(上り・下り)	2007/01~12
湿度(%)		

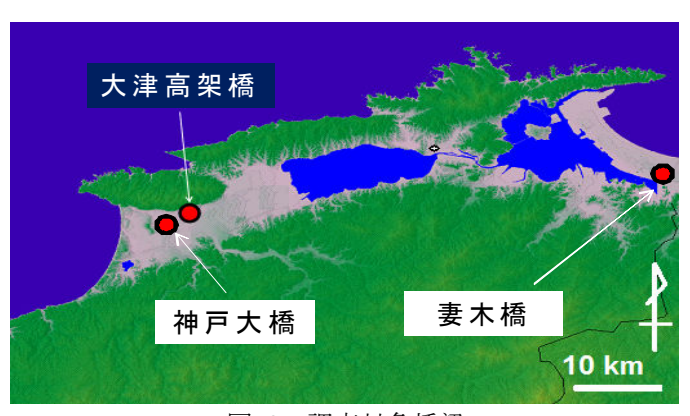


図-2 調査対象橋梁

4. 板厚減耗量と日平均電気量の関係

図-2 に神戸大橋・妻木橋(上り,下り)・大津高架橋における腐食減耗量と日平均電気量の関係を示した.ここでは、腐食電流値の 2007 年 1 月~2007 年 12 月の時間積分を日数で割った、日平均電気量を比較した.大津高架橋では、板厚減耗量と日平均電気量がよく対応しており、高い値を示している.したがって、この周辺は腐食環境が厳しい地域と言える.一方、神戸大橋と妻木橋上り・下りでは、日平均電気量が3橋ともほぼ一定の値を示しているのに対し、板厚減耗量は各橋梁で異なった腐食状況を示ししている。日平均電気量のみでは、鋼材の板厚減耗量を説明することはできない.そのため、日平均電気量と腐食因子の湿度・飛来塩分量との関係を明らかにする必要がある.

5. 日平均電気量と濡れ時間の関係

図-3 に神戸大橋・妻木橋・大津高架橋における年平均濡れ時間を示した.ここで,濡れ時間とは 76%以上の湿度に到達した時間を積算したものと定義し,腐食環境を示す指標の一つである.大津高架橋では,濡れ時間が多く,日平均電気量とよく対応している.また,神戸大橋と妻木橋の濡れ時間はほぼ同一であり,これは,同橋梁の日平均電気量の傾向と一致している.

6. 日平均電気量と飛来塩分量の関係

図-4 に各橋梁にける年平均飛来塩分量と年平均風速の関係を示す. 飛来塩分量が多い橋梁では風速が大きく, 飛来塩分量が少ない橋梁では風速は小さい傾向にあった. これは, 大規模な風により海塩粒子が輸送された結果, ガーゼに付着したと考えられる. また, 飛来塩分量は, 腐食環境の評価において重要なパラメータである. しかし, 大津高架橋では飛来塩分量が少なく, 妻木橋下りでは飛来塩分量が多く, 日平均電気量と飛来塩分量が対応していない. これは, 風速の吹きつけにより, ACM センサーが乾燥したことで湿気がなくなり, その結果, 電流の出力値が下がったためと考えられる. しかしながら, 腐食環境を適切に評価するためには, より詳細な蓄積データを検証するする必要がある.

7. まとめと今後の課題

本研究では、板厚減耗量、ACM センサーの腐食電流値、濡れ時間、飛来塩分量、風速の観測データを用いて、それぞれの関連性を検討した。その結果、日平均電気量と濡れ時間の変化とよく一致していたが、湿度のみでは、腐食電流の特性は説明できない。また、飛来塩分量は日平均電気量との関連性が見られなかった。

今後は、建設中の耐候性鋼橋梁にて1ヵ月の期間、

ACM センサーを用いて腐食環境モニタリングを実施する.同時に,ACM センサーに付着した塩分を採取し,腐食電流の特性を飛来塩分と湿度から詳細に検証していく.また,大気中のC1-濃度を計測し,飛来塩分量との関係性を検討していきたい.

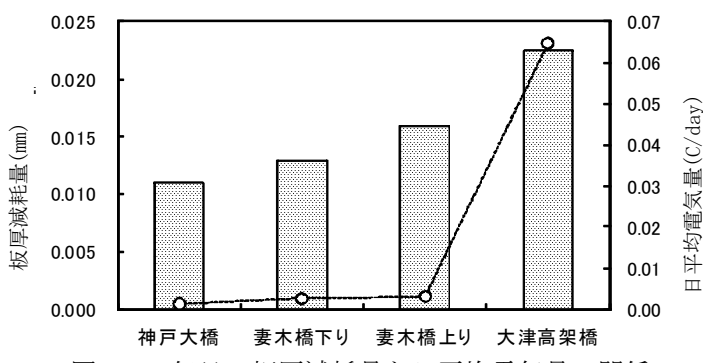


図-3 1年目の板厚減耗量と日平均電気量の関係

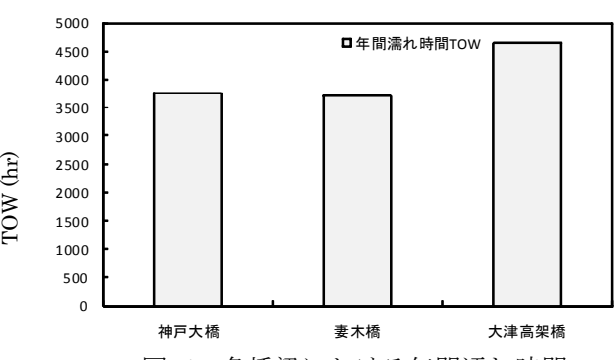
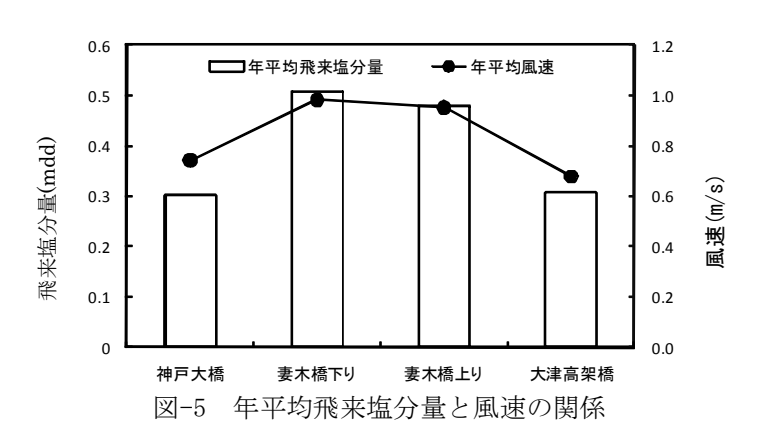


図-4 各橋梁における年間濡れ時間



参考文献

- 1) 紀平寛ら, 2005; 耐候性鋼の腐食減耗予測モデルに 関する研究、土木学会論文集, No. 780/I, pp. 71-86.
- 2)大屋誠,武邊勝道,2009;山陰地方における耐候性鋼橋梁の適用性評価に関する調査・研究,受託研究報告書
- 3)(社)日本鋼構造協会;耐候性鋼橋梁の可能性と新しい技術, JSSC テクニカルレポート, No. 73, 2006